

第二章 思考モデル

2.1 拡散と集中の反復による思考モデル

第一章 1.5 節での思考の解析に基づいて、拡散化作用と集中化作用の交互反復過程を基礎とした、図2-1のような思考モデル(TM)を作成した。以下、このシステムをTMと略す。fは拡散関数、gは集中関数、hは言語化関数、 \mathbb{I} は入力ベクトル、 \mathbb{Q} は状態ベクトル、 \mathbb{S} は準状態ベクトル、 \mathbb{O} は出力ベクトルである。これらについて、13頁を起って、次に説明していく。

[Q]; 今、このTMは、 n 個の言語表現可能な概念 c_1, c_2, \dots, c_n を持っているとする。この場合の概念とは、それが言語表現されることは、単語になるか、文になるか、それか文章になるか かならないけれども、そうした文法的なことは、ここでは考慮せず、とにかく言語表現可能であるという程度の規定にとどめておく。 n 次元状態ベクトル \mathbb{Q} の元々は、概念 c_i の想起

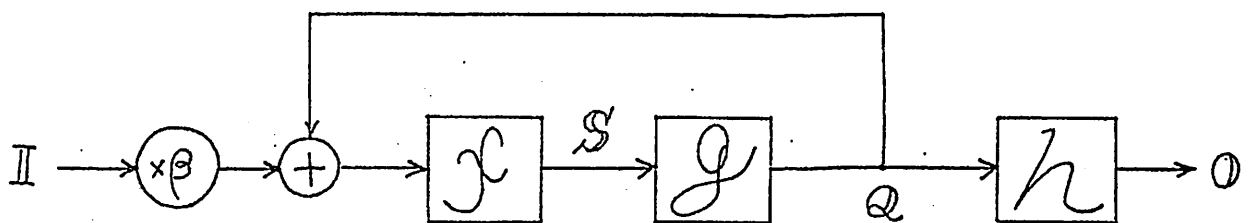


図2-1 思考のモデル TM

の度合を表す。従って、 Q は、今、何を考えているかという、思考の状態を
表すことになる。ここで q_i は、他の元との相対的な大きさに意味があるので
便宜上、 $\sum_{i=1}^n q_i = 1$ という制限を設ける。このことは、1.5節の議論に
従えば、思考のエネルギーの全体量は、その集中、拡散にかかわらず、一定
であるということを意味している。

[II]; n 次元入力ベクトル \mathbb{I} の元 i_j は、0か1の値をとり、 $i_j = 1$
の時は、概念 C_j の言語表現されたものが入力となったことを意味する。
従って、 \mathbb{I} の各元のうち、1の値をとるものが二つ以上になることはない。

[O]; n 次元出力ベクトル \mathbb{O} も \mathbb{I} と同じように、その元 O_k は 0か1
の値をとり、 $O_k = 1$ の時は、概念 C_k の言語表現されたものが、出力
となって、出ていくことを意味する。従って、この場合も、1の値をとる \mathbb{O} の
元の数は、二つ以上になることはない。

[S]; この TM の場合、状態 Q の遷移は、1サイクル分の拡散と集中
によって、行われるのであって、本来、この拡散と集中は、1.5節で述べ
たように、同時相反過程として考えるべきであるので、 S なる準状態ベ
クトルは、存在しないはずであるが、システムモデル化の段階では、同時
相反過程のシステムによる表現は困難であるために、交互相反過程と

して表現した。(勿論、本質的には、何ら度がない。) その為には、 S が存在
する=と=な=った=0=, 思考の解析上での根拠は持たない。

$[f]$; 二は、拡散化作用を及ぼす。拡散関数で、その性質上、
次のような線形関数を用いた。

$$S = f(Q, I) \\ = (M + N(\alpha)) \cdot (Q + \beta \cdot I)$$

M は n 次正方行列で、その元 M_{ij} は、概念 C_j から概念 C_i を連想する
度合を表す拡散行列である。従って、 M を、 n 個の列ベクトルと
考えれば、 i 番目の列ベクトルの各元は、概念 C_i から、各概念 C_1, \dots, C_n
への相対的な連想度を表すので、便宜上、 $\sum_{k=1}^n m_{ki} = 1$ という制限を
設ける。このようにしても、例えば概念 C_i が全く、他の概念を連想しな
い時でも、 $m_{ii} = 1$ 、その他 $m_{ki} = 0$ と表せるので不都合はない。

$N(\alpha)$ も同じく n 次正方行列で、その元がすべて $N_{ij} = \alpha$ という特
殊なもので、この α の符号により、もし、 $\alpha > 0$ ならば、空想的、 $\alpha < 0$ ならば、
神経質、というように、連想の性質を表現し、その絶対値は、その度
合を表す。但し、 $\alpha < 0$ の場合は、 $m_{ij} - \alpha < 0$ という、負の連想度が
生じる場合があり、不適切であるので、この場合には、常に、 $m_{ij} - \alpha = 0$

とする。従って、 $M+N(d)$ の十記号は、普通の加算に、この条件を加えた演算を表すことになる。

β は入力への注意度を表し、大きいほど入力に対し、敏感である。

状態 Q と入力 I を線形結合にしたのは、小4節(2)において、オートマトンの制御問題を例にとり、述べたように、言語入力は、感覚入力と異なり、直接、概念想起、即ち、状態に関与すると考えられたからである。

[5]; これは、集中化作用を受け持つ集中関数で、大きい値をより大きく、小さい値をより小さくする性質を持つものである。それを数式で定義するには、あつかいながら、そのような性質を持つ関数は、いろいろ考えられる。本論文では、次のような、ベキ乗正規化関数を用いる。

$$Q = \mathcal{J}(S) : \mathcal{J}_i = \frac{\mathcal{J}_i^P}{\sum_{k=1}^n \mathcal{J}_k^P}$$

このような、ベキ乗正規化関数の、集中化作用は次のように表現できる。

$$\sum_i \left(\frac{\mathcal{J}_i}{\sum_{k=1}^n \mathcal{J}_k} \right)^r \geq \sum_i \left(\frac{\mathcal{J}_i}{\sum_{k=1}^n \mathcal{J}_k} \right)^r, \quad r > 1$$

よって、このベキ乗数 P が意識の覚醒度を表すことになる。

もし、この集中関数として、閾値関数を用いれば、小4節で紹介した

Casaniello の神経回路網のモデルに似たものになる。

[h]; これは、状態から出力を生む言語化関数で

$$O = h(Q)$$

集中と拡散の交互反復過程、即ち f9 サイクルの中で、十分に概念想起したものを、言語表現する性質を持つので、閾値関数を用いた。

$$\left\{ \begin{array}{l} O_i \geq T \text{ ならば } O_i = 1 \\ O_j < T \text{ ならば } O_j = 0 \end{array} \right.$$

従って、T が大きくと発言に対して慎重になり、或いは口が重く、T が小さいと多弁になる。但し、T が 0.5 以下の時は、0 の元のうち、二つ以上が 1 になる可能性があるため、最大値選択を併用する必要がある。

更に、 $O_i = 1$ ならば、 $o_i = 1$ とする。これは、次のような事情に基づく。思考言語は、1.1 節、1.5 節で述べたように、明確に言語化されているわけでは無い。特に、主語の類の欠落は、著しい。それをダイグツキーは「完全な述語主義」と表現している。しかし、当然のことではあるが、音声言語化したときには、十分、明確になっているからである。

以上、図 2-1 の思考モデル TM について説明してきたが、このシステム

の詳しい解析は、次節以下で行い、これを用いた思考過程の
計算機シミュレーションをオマケで行う。

2.2 その数学的解析 ----- 「収束問題」

(1) 拡散関数 f について^{(55), (56)}

ここでは、 $f^n: n \rightarrow \infty$ 限らず、 $x^{(k+1)} = f(x^{(k)}) = M \cdot x^{(k)}$ の収束性
について述べる。

M は、その列和 $\sum_i m_{ij} = 1$ であるから、 $(M - E)$ の列和は、 δ_{ij} を
フロベニウスの対角記号として $\sum_i (m_{ij} - \delta_{ij}) = 0$ となり、 $|M - E| = 0$ と
なることから、固有値として 1 を持つ。しかも、 $m_{ij} \geq 0$ であり、一般には
 M は既約^(註) と考えられるから、フロベニウス根を持ち、かつ、フロベニウス
の定理の系として、

$$1 = \min_j \left\{ \sum_i m_{ij} \right\} \leq (\text{フロベニウス根}) \leq \max_j \left\{ \sum_i m_{ij} \right\} = 1$$

がわかっているから、 M の固有値 1 はフロベニウス根である。

(註) 既約とは、ある行列 M が、適当な座標変換によって、次のように

表せられることである。

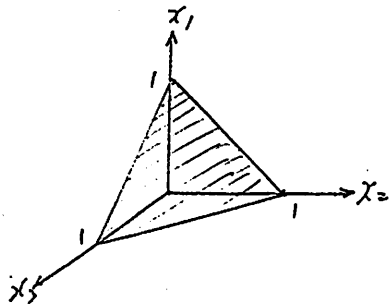
$$\begin{pmatrix} A & 0 \\ C & D \end{pmatrix} : A, D \text{ は正行行列}$$

ここで $M > 0$ ($m_{ij} > 0$) ならば, M^n は, $n \rightarrow \infty$ で収束するが, 一般には $M > 0$ は期待できない。 (例. $M \geq 0$ ($m_{ij} \geq 0$) の場合でも, M が primitive^(註) の時は, $M^p > 0$ ($p \geq 1$) となり, やはり収束する。 したがって, 固有値 ± 1 の固有ベクトルを x_{ev} ($\sum x_{ev(i)} = 1$) とすると, $M^\infty = (x_{ev}, x_{ev}, \dots, x_{ev})$ となるが, $x(k+1)$ は, 初期値 $x(0)$ に無関係に x_{ev} に収束する。 また, M が imprimitive^(註) の時は, 適当な変換によって,

$$P^{-1} M P = \begin{bmatrix} 0 & M_{12} & & 0 \\ \vdots & & M_{23} & \\ 0 & 0 & \dots & M_{s-1,s} \\ M_{s1} & 0 & \dots & 0 \end{bmatrix}$$

の形にでき, $x(k)$ は $k \rightarrow \infty$ で巡回的になる。

以上, M によって 3 の場合が考えられるが, 3次元を例として, 直観的な説明を加えておこう。 2次元モデルに従って, $\sum x_i = 1$, $x_i \geq 0$ とする。



$x(0)$ の範囲は, 左図の斜線部の

正三角形である。この領域を $f(0) = \{x(0)\}$

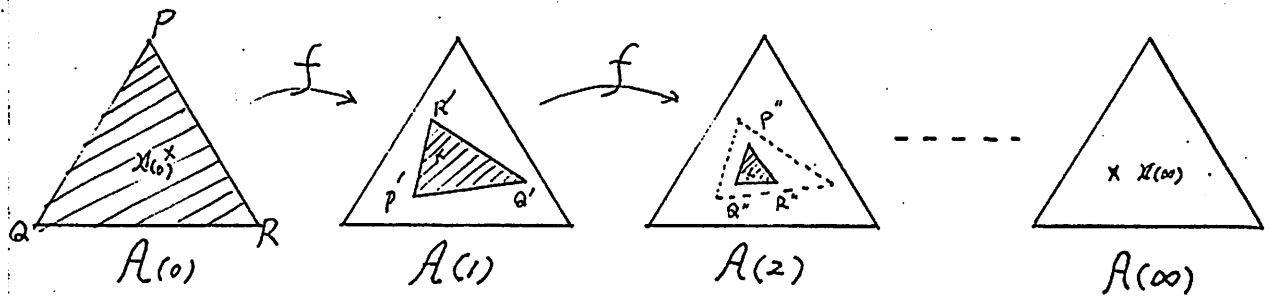
とする。

(註). 行列 M の r 個の固有値根を Γ とした時.

$$\Gamma \neq \lambda \quad \text{かつ} \quad |\lambda| = r$$

なる固有値 λ が存在 (なければ「primitive」, 存在すれば「imprimitive」と言う)。

(i) M が既約で primitive の場合. (一般的)

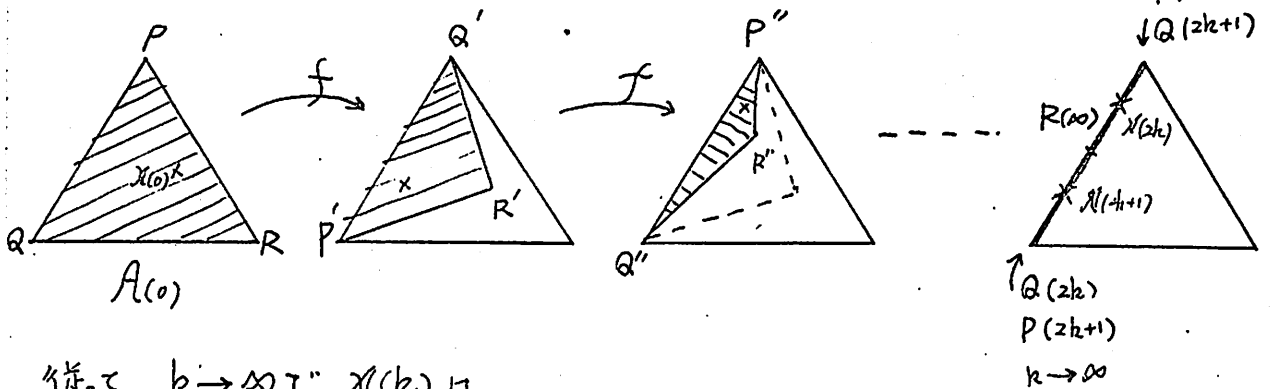


(ii) M が既約で imprimitive の場合.

(ex)

$$M = \begin{pmatrix} 0 & m_{12} & 1 \\ 0 & m_{22} & 0 \\ 1 & m_{32} & 0 \end{pmatrix}$$

絶対値 1 の固有値 λ として, λ 以外に $|\lambda| < 1$



従って, $k \rightarrow \infty$ として $x(k)$ は,

$$x(2k) = \begin{pmatrix} \alpha \\ 0 \\ 1-\alpha \end{pmatrix}, x(2k+1) = \begin{pmatrix} 1-\alpha \\ 0 \\ \alpha \end{pmatrix} \text{ の巡回になる。}$$

(iii) M が可約 (既約でない) の場合

(ex)

$$M_1 = \begin{pmatrix} 1 & m_{12} & m_{13} \\ 0 & m_{22} & m_{23} \\ 0 & m_{32} & m_{33} \end{pmatrix}, M_2 = \begin{pmatrix} m_{11} & 0 & 0 \\ m_{21} & m_{22} & m_{23} \\ m_{31} & m_{32} & m_{33} \end{pmatrix}$$

M_1 型と M_2 型があり, $\lambda=1$ は必ずしも収束するが, 収束点 x が $x(0)$ に依存する場合

ではない場合がある。しかし, 拡散行列 M は一般に可約で $\lambda=1$ の固有値が自然である。

(2) 集中関数 g について

$x^{(k+1)} = g(x^{(k)})$ の収束性を検討する。但し $\sum x_i = 1$, $x_i \geq 0$ とする。

今, $\max_i \{x_i(0)\} = \{x_{m_i}(0); i=1 \sim p\}$ とする。

$$x_i(k) \geq x_j(k) \text{ ならば } x_i(k+1) = \frac{x_i^2(k)}{\sum x_i^2(k)} \geq \frac{x_j^2(k)}{\sum x_i^2(k)} = x_j(k+1)$$

\therefore 大小関係は、保存されるので、 $\max_i \{x_i(k)\} = \{x_{m_i}(k); i=1 \sim p\}$ とする。

$k \rightarrow \infty$

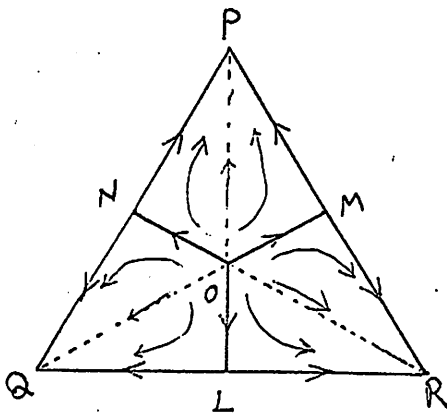
$$\frac{x_{m_i}(k+1)}{x_{m_i}(k)} = \frac{x_{m_i}(k)}{\sum x_i^2(k)} = \frac{1}{\sum x_i(k) \cdot \frac{x_i(k)}{x_{m_i}(k)}} \geq \frac{1}{\sum x_i(k)} = 1$$

等号は、 $x_{m_i}; i=1 \sim p$ 以外の x_i がすべて 0 になると成立する。 $k=0$ で

等号の成立しない場合は、「有界な単調増加数列は収束する」とわかる。

その収束点は、やはり、等号の成立する点である。それを y_i とする。

$$y_{m_i} = \frac{1}{p}; i=1 \sim p \quad \text{その他の } y_i = 0$$



これを、3次元でみると、左図のように、

3つの領域に分れている。P, Q, Rは

安定な収束点、O, M, L, Nは不安定

な収束点である。

(3) $g \circ f$ 関数について.

(1), (2) において, f, g の収束性は容易に論じられた. したがって
 複合された $f \circ g$ 関数の収束性を, 一般的に n 次元空間で扱うことは
 困難であり, ここでは, 2次元空間における収束条件を求める.

$$M = \begin{pmatrix} \alpha & \beta \\ 1-\alpha & 1-\beta \end{pmatrix}, \quad x_{k+1} = \begin{pmatrix} x_k \\ 1-x_k \end{pmatrix}, \quad x'_k = f(x_k), \quad x_{k+1} = g(x'_k)$$

とすると, 漸化式は

$$x'_k = (\alpha - \beta)x_k + \beta$$

$$x_{k+1} = \frac{(x'_k)^2}{(x'_k)^2 + (1-x'_k)^2}$$

$$\text{但し } \begin{pmatrix} 0 \leq x_k \leq 1 \\ 0 \leq \alpha \leq 1 \\ 0 \leq \beta \leq 1 \end{pmatrix}$$

となる. ここで $x_k = x$, $\Delta(x) = x_{k+1} - x_k$ とおくと

$$\Delta(x) = - \frac{2(\alpha-\beta)^2 x^3 + (\alpha-\beta)(5\beta-2-\alpha)x^2 + (4\beta^2-2\beta+1-2\alpha\beta)x - \beta^2}{2(\alpha-\beta)^2 x^2 + 2(\alpha-\beta)x + 2\beta^2 - 2\beta + 1}$$

は, $g \circ f$ 写像による不動点の存在及びその個数を調べる.

$$\Delta(x) = - \frac{r(x)}{s(x)}$$

とおくと, 不動点の数は, $0 \leq x \leq 1$ における $r(x) = 0$ の根の数を

に等しくなる. $\alpha = 3/4$

$$r(0) = -\beta^2 \leq 0$$

$$r(1) = (1-\alpha)^2 \geq 0$$

なるべし、不動点が少くとも一つ存在する事は明らかである。

よって、次に、不動点の最大数の3個の場合の条件を調べよう。

$r(x) = 0$ は3次方程式なるべし。その必要十分条件は

(i) $r'(x) = 0$ の二根 p_1, p_2 が実数根なるべし。 $0 < p_1, p_2 < 1$ 。

(ii) $r(p_1) > 0, r(p_2) < 0$ であり、但し $p_1 < p_2$ なるべし

である。よって

$$r'(x) = 6(\alpha-\beta)^2 x^2 + 2(\alpha-\beta)(5\beta-\alpha-2)x + 4\beta^2 - 2\beta + 1 - 2\alpha\beta$$

$$p_1, p_2 = \frac{-(\alpha-\beta)(5\beta-\alpha-2) \pm \sqrt{D}}{6(\alpha-\beta)^2}$$

$$D = (\alpha-\beta)^2(5\beta-\alpha-2)^2 - 6(\alpha-\beta)^2(4\beta^2 - 2\beta + 1 - 2\alpha\beta)$$

$$= (\alpha-\beta)^2(\alpha^2 + \beta^2 - 2 + 2\alpha\beta + 4\alpha - 8\beta)$$

$$r(x) = r'(x) \cdot \left\{ \frac{1}{3}x + \frac{5\beta - \alpha - 2}{18(\alpha-\beta)} \right\} + \frac{1}{9} \left\{ -\alpha^2 - \beta^2 + 2 - 2\alpha\beta - 4\alpha + 8\beta \right\} x$$

$$- \frac{1}{18(\alpha-\beta)} \left\{ 2\alpha^2\beta + 4\alpha\beta^2 + 2\beta^3 + 6\alpha\beta - 18\beta^2 - \alpha + 9\beta - 2 \right\}$$

この式を整理して、上の条件(i), (ii)を整理してゆく。

まず $D > 0$ なるべし

$$\alpha^2 + \beta^2 - 2 + 2\alpha\beta + 4\alpha - 8\beta > 0$$

----- (C-1)

$0 < p_1$ かつ

$$\sqrt{D} < -(d-\beta)(5\beta-d-2)$$

両辺を自乗して整理すると

$$0 < 4\beta^2 - 2\beta + 1 - 2d\beta = (2\beta - 1)^2 + 2\beta(1-d)$$

つまり、 $\beta > 0, d \leq 1$ かつ、 $\beta = \frac{1}{2}, d = 1$ 以外では常に成立する。

よって条件は、

$$(d-\beta)(5\beta-d-2) < 0 \quad \text{但し、}\beta = \frac{1}{2}, d = 1 \text{ を除く} \quad \text{---- (C-2)}$$

$p_2 < 1$ かつ

$$\sqrt{D} < (d-\beta)(5d-\beta-2)$$

つまり、 $p_1 < 0$ と同じようにして、

$$(d-\beta)(5d-\beta-2) > 0 \quad \text{但し、}d = \frac{1}{2}, \beta = 0 \text{ を除く} \quad \text{---- (C-3)}$$

$r(p_1) > 0$ かつ

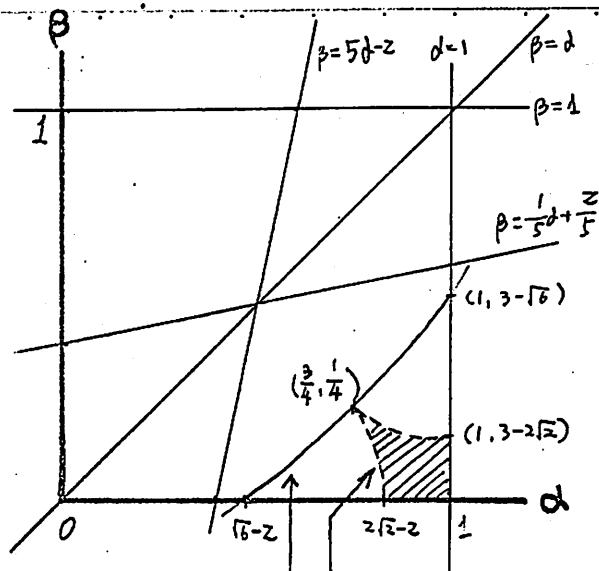
$$D\sqrt{D} > (d-\beta)^3 (d^3 + 3d^2\beta + 3d\beta^2 + \beta^3 + 6d^2 - 6d\beta - 12\beta^2 + 3d + 2)(\beta - 10)$$

同様に $r(p_2) < 0$ かつ

$$D\sqrt{D} > -(d-\beta)^3 (d^3 + 3d^2\beta + 3d\beta^2 + \beta^3 + 6d^2 - 6d\beta - 12\beta^2 + 3d + 2)(\beta - 10)$$

以上、2式かつ

$$(d^2\beta^2 - 2 + 2d\beta + 4d - 8\beta)^3 > (d^3 + 3d^2\beta + 3d\beta^2 + \beta^3 + 6d^2 - 6d\beta - 12\beta^2 + 3d + 2)(\beta - 10)^2 \quad \text{---- (C-4)}$$



$$\alpha^2 + \beta^2 - 2 + 2\alpha\beta + \alpha - \beta = 0$$

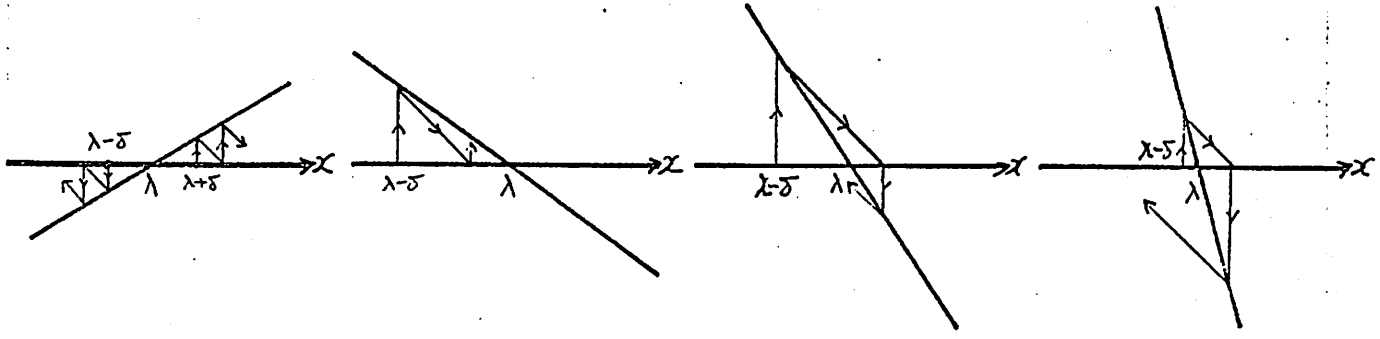
$$(\quad)^2 = (\alpha + \beta - 1)^2 (\alpha^2 + \beta^2 + 10 + 2\alpha\beta + 7\alpha - 11\beta)$$

以上、条件(iii)は条件(C-1~4)に置き換えられ、これは、 α - β 平面では、左図斜線部である。従って、図の点線上は不動点が2個となり、他は、1個となる。

次に、不動点の安定性について調べる。これは、不動点のx座標を λ とし、 $0 < \delta \ll 1$ のとき、 $\lambda \pm \delta$ が f の写像を繰返したとき λ に近づくとき、安定であり、遠ざかる時は、不安定である。これは $\Delta(\lambda)$ に依存し、下図からわかるように、 $0 > \Delta(\lambda) > -2$ のとき安定の条件である。よって、 $\lambda = \tau$, $r(\lambda) = 0$ から

$$\Delta'(\lambda) = -\frac{r(\lambda)f'(\lambda) - r'(\lambda)f(\lambda)}{f^2(\lambda)} = -\frac{r'(\lambda)}{f(\lambda)}$$

- ① $0 < \Delta(\lambda)$
- ② $-1 < \Delta(\lambda) < 0$
- ③ $-2 < \Delta(\lambda) < -1$
- ④ $\Delta(\lambda) < -2$



一方.

$$\Delta(0) = \frac{\beta^2}{\beta^2 + (1-\beta)^2} \geq 0$$

$$\Delta(1) = \frac{-(1-d)^2}{d^2 + (1-d)^2} \leq 0$$

であるから、 $0 \leq x \leq 1$ において、不動点が一箇の場合は、必ず

$\Delta'(x) < 0$ であり、三箇の場合は、必ず、 $\lambda_1 < \lambda_2 < \lambda_3$ かつ $\Delta(\lambda_1) < 0$,

$\Delta(\lambda_2) > 0$, $\Delta(\lambda_3) < 0$ であることは用いることができる。

よって $\Delta'(x) > -z$ の条件だけを調べると、

$$0 < \Delta'(x) + z = -\frac{r'(x) - 2F(x)}{F(x)}$$

よって $r(x) = 0$ を用いると

$$S(x) = 2(d-\beta)^2 x^2 + 2(d-\beta)(2\beta-1)x + 2\beta^2 - 2\beta + 1$$

$$= \frac{(d-\beta)^2 x^2 + 2\beta(d-\beta)x + \beta^2}{x} = \frac{\{(d-\beta)x + \beta\}^2}{x} > 0$$

従って条件は

$$0 > r'(x) - 2F(x) = 2(d-\beta)^2 x^2 - 2(d-\beta)^2 x + 2\beta - 2d\beta - 1$$

結局、不動点の存在条件は、 $r(x) = 0$ の根のうち、 $0 \leq x \leq 1$ である

かつ、 $\Delta'(x) < 0$ のものをとり、上の不等式を満すことである。よって

数学的に安定条件の求めたニヒになるが、この条件を一つの式に整理するためには、三次方程式 $V(x)=0$ の根の公式を用いる必要があり、煩雑である。そこで、安定条件の必要条件と十分条件から、直観的に α - β 平面での領域を示す。

まず、 $0 \leq \lambda \leq 1$ であるから、この範囲で、 $0 > V'(\lambda) - 2V(\lambda)$ を満たす λ が少なくとも一つ存在しなければならない。ここで、方程式 $V'(\lambda) - 2V(\lambda) = 0$ は $0 < \lambda = \frac{1}{2} < 1$ で最小値をとるので、結局、必要条件は、判別式が正であることとなる。ここで

$$D_n = (\alpha - \beta)^2 (\alpha^2 + 2\alpha\beta + \beta^2 - 4\beta + 2) > 0$$

RPS. $\alpha > \sqrt{4\beta - 2} - \beta$

一方、 $0 \leq \lambda \leq 1$ において、常に $0 > V'(\lambda) - 2V(\lambda)$ であるのは、安定条件は、常に満たされることから、

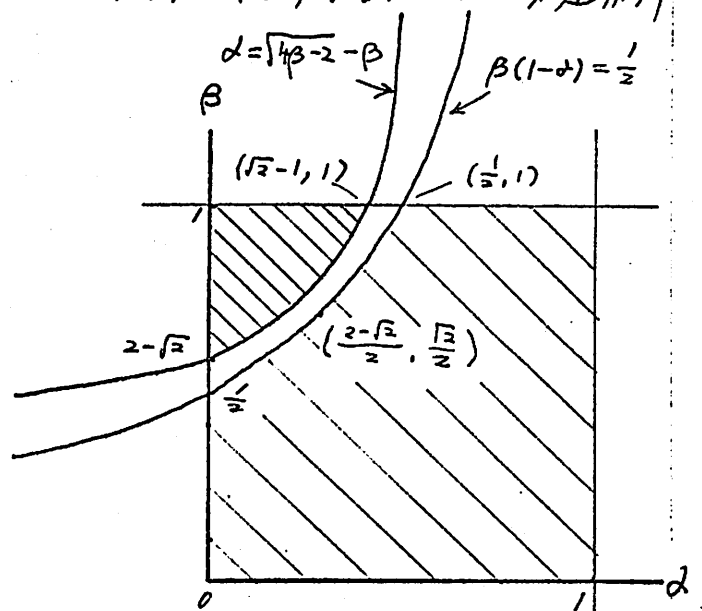
$$V'(0) - 2V(0) = V'(1) - 2V(1)$$

$$= 2\beta - 2\alpha\beta - 1 < 0$$

この不等式から、青線部は、

安定、赤線部は不安定な

不動点の存在領域である。

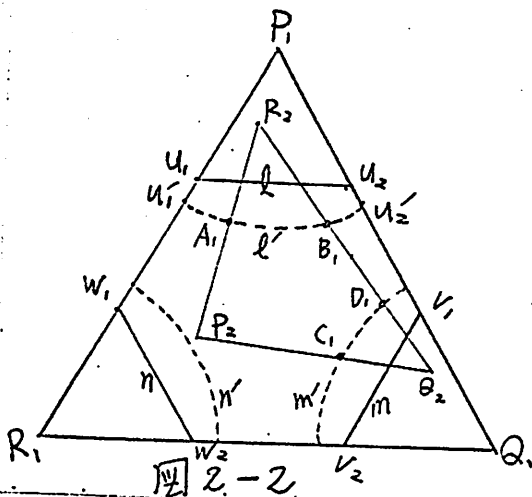


2.3 知オートマトン理論的解析 ----- 「制御問題」

この思考モデル TM は、入出力数こそ有限 (有限) であるが、 n 次元空間における超平面の一部の領域が状態空間となっているために、状態数は無限である。従って、有限な決定オートマトンの理論のような明確な扱いは望むべくもない。ここでは、その可能性を検討するに止めた。なお、煩雑さを避けて、3次元で論じるが、 n 次元との本質的差違はたゞとて思う。

(1) 1-等価状態集合

決定オートマトンでは、ある二つの状態 β_1 と β_2 が、長さ k の、任意の入力系列 J_k に対して、同じ出力系列 $w(J_k, \beta_1) = w(J_k, \beta_2)$ のとき、 β_1 と β_2 は、「 k -等価状態である」という。ここで、このように、無限個の状態数を「1-等価状態集合」に分けて



と区別する。一例として、図 2-2 のように $\Delta P_2 Q_2 R_2 = f(\Delta P_1 Q_1 R_1)$ の場合をみる。 $\Delta P_1 Q_1 R_1$ は、先述のように $x_{P_1}^t = (1, 0, 0)$, $x_{Q_1}^t = (0, 1, 0)$, $x_{R_1}^t = (0, 0, 1)$

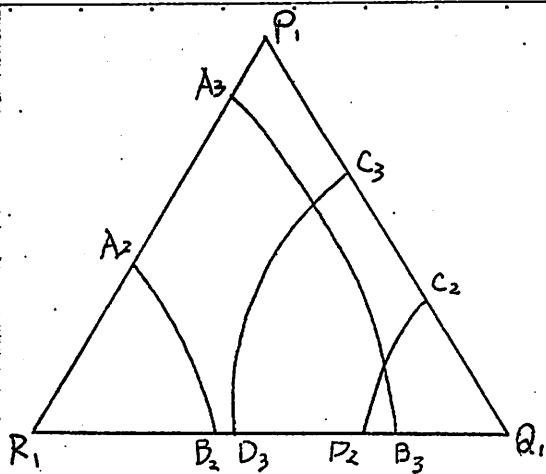


図 2-3

である。 \$l, m, n\$ は、各々 \$x_1 = T, x_2 = T, x_3 = T\$ なる直線 \$l, m, n\$ であり、 \$D_i\$ の出力となる。今、時刻 \$k+1\$ に、 \$D_1\$ の出力となるとき、状態は \$x(k+1), x(k)\$ となる。すると、

$$D_1 = h(x(k+1)) = h\{f(x(k))\} = h \cdot f \cdot f(x(k) + I(k))$$

\$x = T\$ のとき、状態を逆変換して

$$\{x(k+1)\} = h^{-1}(D_1(k+1)) = \Delta P_1 U_1 U_2$$

$$\{x(k)\} = f^{-1}(x(k+1)) = \text{領域 } P_1 U_1 U_2 \quad \text{但し } l = f(l')$$

$$l': (1-T)x_1 = x_2 + x_3$$

\$= T\$ である。 \$\Delta P_2 Q_2 R_2 = f(\Delta P_1 Q_1 R_1)\$ である。

$$\{x(k)\} = \text{領域 } R_2 A_1 B_1 \subset \text{領域 } P_1 U_1 U_2$$

$$\{x(k) + I(k)\} = f^{-1}[\{x(k)\}] = \text{領域 } R_1 A_2 B_2 \quad (\text{図 2-3})$$

結局

$$\left\{ \begin{array}{l} I(k) = 0 \text{ なる時} \\ I(k) = I_3 \text{ なる時} \end{array} \right. \quad \{x(k)\} = \text{領域 } R_1 A_2 B_2$$

$$\left\{ \begin{array}{l} I(k) = 0 \text{ なる時} \\ I(k) = I_3 \text{ なる時} \end{array} \right. \quad \{x(k)\} = \text{領域 } R_1 A_3 B_3$$

$$\text{但し } \left(\begin{array}{l} R_1 A_3 = 2R_1 A_2 \\ R_1 B_3 = 2R_1 B_2 \end{array} \right)$$

出力 \$D_2\$ についても同様にして

$$\left\{ \begin{array}{l} I(k) = 0 \text{ なる時} \\ I(k) = I_2 \text{ なる時} \end{array} \right. \quad \{x(k)\} = \text{領域 } Q_1 C_2 D_2$$

$$\left\{ \begin{array}{l} I(k) = 0 \text{ なる時} \\ I(k) = I_2 \text{ なる時} \end{array} \right. \quad \{x(k)\} = \text{領域 } Q_1 C_3 D_3$$

出力 $Q_3 = 1$ については.

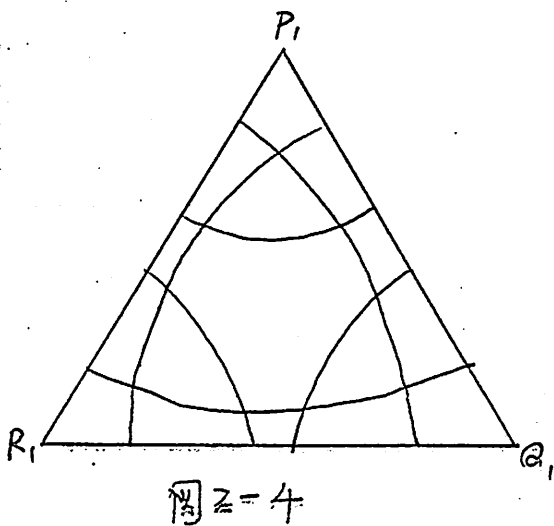
$$\text{領域 } R_1, W_1, W_2 \cap \Delta P_2 Q_2 R_2 = \phi$$

のため. $\{X(k)\} = \phi$

出力 $Q = 0$ とする. 以上の残りについて

$$\left\{ \begin{array}{ll} \text{II}(k) = 0 \text{ のときは} & \{X(k)\} = \Delta P_1 Q_1 R_1 - \text{領域 } R_1 A_2 B_2 - \text{領域 } Q_1 C_2 D_2 \\ \text{II}(k) = \text{II}_1 \text{ のときは} & \{X(k)\} = \Delta P_1 Q_1 R_1 \\ \text{II}(k) = \text{II}_2 \text{ のときは} & \{X(k)\} = \Delta P_1 Q_1 R_1 - \text{領域 } Q_1 C_2 D_2 \\ \text{II}(k) = \text{II}_3 \text{ のときは} & \{X(k)\} = \Delta P_1 Q_1 R_1 - \text{領域 } R_1 A_2 B_2 \end{array} \right.$$

従って. 本例では. 「1-等価状態集合」は. 図2-3のように7つに分けられる.



最大数は. 図2-4のようにする場合で16になる. 形式上は. 入出力が4種あるので $4^4 = 256$ になるが. 例えは. λ が II_2 の出力 Q_j の領域の中に入ると Q_j の領域が含まれる等の相関があり.

実際は. 16より大きくなることはない.

この「1-等価状態集合」が多少異なり. システムの動特性は変化は富むが.

その条件としては. 図値が小さく. B の拡散行列 M がある. 各列の

最大元が、ガナリ木... 値を x とし、及び、その最大元が、各行で、移動物
 とる x が、 $1/2, \dots, x$ があげられる。

なお、実際の状態空間は、 $x_i \in T$ のとき $x_i = 1$ という k 関数の影響で、
 $T \leq x_i < 1/2 - T$, $i=1, \dots, n$ の部分が、空集合になってしまうが、本論には、関係(2)の
 ので無視した。

(2) 制御問題.

一般に最もよく論じている制御問題は、状態遷移法則が既知
 で、初期状態が未知という条件のもとで、ある指定された状態へ導く入力
 系列を見出すという類の問題である。しかし、この思考モデル TM は、状態
 数が無限であり、このような問題は、不可能であるので、状態のかわりに、

II で述べた一筆面状態集合について、その制御の可能性を検討する。

II(k) = II_j の場合について、状態の後の影響を考えると、 $\sum x_i = 1$ のさ。

$$II_j = \begin{bmatrix} 0 \\ \vdots \\ 0 \\ \vdots \\ 0 \\ \vdots \\ 0 \end{bmatrix} = \begin{bmatrix} 0 & \dots & 0 \\ \vdots & \dots & \vdots \\ 0 & \dots & 0 \\ \vdots & \dots & \vdots \\ 0 & \dots & 0 \end{bmatrix} \cdot x(k) = F_j \cdot x(k) \quad ; \quad f_{ji} = 1, \quad f_{ki} = 0, \quad i=1, \dots, n, \quad k \neq j$$

となる。よって f 行列を行くと、

$$x'(k) = f(x(k), II(k)) = M \cdot \frac{x(k) + II_j}{2} = M \cdot \frac{1}{2} (E + F_j) \cdot x(k)$$

$\psi = T^{-1} \frac{1}{2}(E + F_j) = A_j$ とおくと、3次元の場合は、

$$A_1 = \begin{bmatrix} 1 & \frac{1}{2} & \frac{1}{2} \\ 0 & \frac{1}{2} & 0 \\ 0 & 0 & \frac{1}{2} \end{bmatrix}, \quad A_2 = \begin{bmatrix} \frac{1}{2} & 0 & 0 \\ \frac{1}{2} & 1 & \frac{1}{2} \\ 0 & 0 & \frac{1}{2} \end{bmatrix}, \quad A_3 = \begin{bmatrix} \frac{1}{2} & 0 & 0 \\ 0 & \frac{1}{2} & 0 \\ \frac{1}{2} & \frac{1}{2} & 1 \end{bmatrix}.$$

$M = M_0$, $M_j = M_0 \cdot A_j$ とおくと、図2-1のTMは、図2-5と表すことができる。これは $\beta = 1$ の場合で、一般には、 $A_j = (E + \beta F_j) / (1 + \beta)$ とおけばよい。

さて、以上の考察で、任意の入力は、拡散行列 T を置き換えて、これがわかった上で、次に、 F のように、複素字像を考へる。

$$f^n(i_1, i_2, \dots, i_k) = \left\{ \prod_{j=1}^k (g \cdot M_{i_{k-j+1}}) \right\}^n = \{ g \cdot M_{i_k} \cdot g \cdot M_{i_{k-1}} \dots g \cdot M_{i_1} \}^n$$

$f^n(i_1 \sim i_k) \cdot \chi(0)$ の $n \rightarrow \infty$ を考へると、2-2節の考察から、収束する。巡回的になる。さて、これが、一般には、初期状態 $\chi(0)$ によるものと思われ、このため、実験的に、この状態が、「一準価状態集合」のどれに属するか

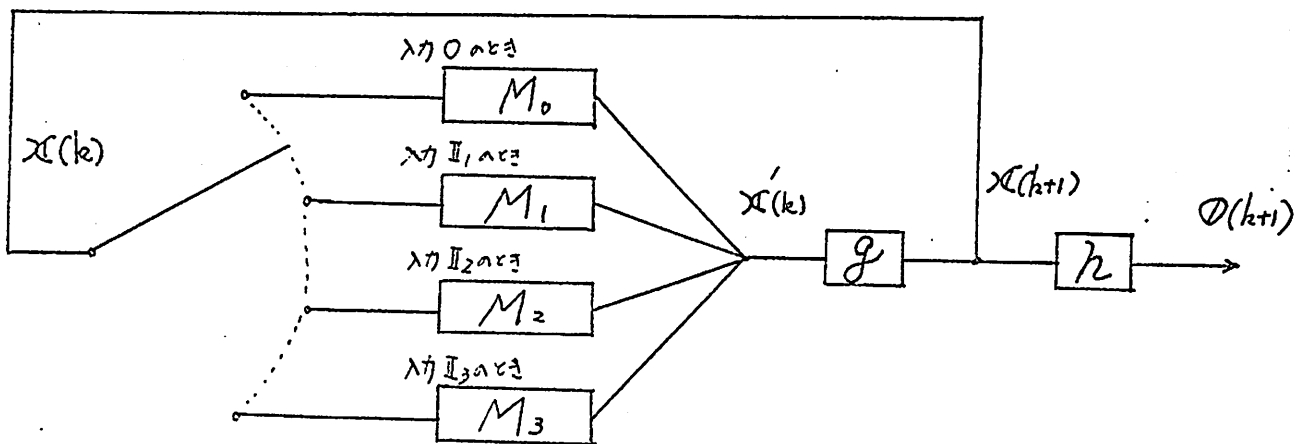


図2-5

を調べる事ができる。 $n \rightarrow \infty$ というのは、非現実的であるが、実際には、ある程度、 n が大きくなれば、 $x(n)$ の依存度は無視できるし、ましてや、この場合は、収束点から「一等価状態」のどの集合に属するかを調べるのだから、収束点にある程度近づけば、そこで実験をして、それによる誤差は小さい。

このようにして、何種類かの $f^n(i_1, \dots, i_k)$ について、その定常状態を調べ、できるだけ多くの「一等価状態集合」について、骨子、簡単に $f^n(i_1, \dots, i_k)$ を一つずつ、対応させておくと、その「一等価状態集合」については、判別可能という事になる。しかし、今のところ、この実験をいかに能率よく行うか、また、この方法で、存在可能な「一等価状態集合」について、有限回で発見できるかどうかという問題は、未解決である。

2.4 その心理学的解析

モデルTMの拡散関数 f , 集中関数 g については, 1.5節の考察との対応で, 既に明らかであろう。 f, g 及びフィードバックルールの組合せについては, 他にも考えられるが, 1.1節で述べた発達心理学的知見など, 考え合えると, この組合せが妥当であろう。

ヴイゴツキーによつて, 4~6才児の自己中心言語は, 7才位までに, 内言(思考言語)へと発達するところが明らかになっているが, それは, 丁度, 図2-6において, ルール1からルール2への移行として把握される。言葉を覚えはじめた頃の幼児は, 未だ, 思考能力を持たないため, ルール1もルール2もなく, 条件反射的構造になっている。そして, 言語能力が発達してくると, 自己中心言語を話さうになり, ルール1を利用して, 疑似思考を行う。このように, ルール1の活用が積重ねれば, ルール2の発達を促し, 7才頃には, このルール2が

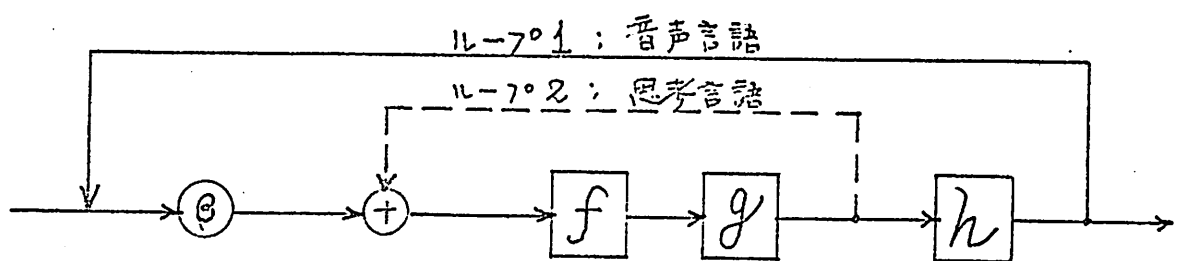


図2-6 自己中心言語から内言へ

定着して、ル-7°2の代用品としてのル-7°1は、消滅していく。この
 ような、ハイゲッキ-理論の裏づけが、ル-7°2の存在の意味を、
 明らかにする。

さて、TMの思考モデルであるならば、 α に、性格 α か、精神状態
 が、どのように表現されるかという問題の興味のあるところである。TMに
 対して、変化させるパラメータは、外部入力に対する注意度 β 、 β 関
 数の連想の性質を表す α 、覚醒度を示す、 β 関数のべき乗数 P 、

表2-1

		幼児	少年	青年	老人
α	正		空想的 解放感	奇抜性 情緒不安定	作話的 無頓着
	負		神経質 抑圧感	単純思考 神経衰弱	頑固
β	大	覚醒良好	好奇心強 知識欲大	他人理解意欲大 神経過敏	
	小	麻痺、眠気	内向性 川俣的	自己中心的 川俣的	普通
P	大		意識鮮明 賢明	意識鮮明 言語思考力大	
	小	普通	意識緩慢 低能	感覚的 鈍感無為	普通 老人性痴呆化
T	大		優柔不断 消極的	内向的 慎重	普通
	小	普通	括撻 積極的	外向張的 多弁	

言語化関数 h の閾値 T がある αT , この α, β, P, T を用いて、例
えば、夢中 T を考え込んでいる時は、 β 小, P, T 大, ぼんやりしている時は、
 $\alpha > 0, \beta, P$ 小, T 大, 不安な状態 T は、 $\alpha < 0, \beta, P$ 大, T 小, 快感時
には、 $\alpha > 0, \beta, P, T$ 小, 自己主張時には、 β, T 小, P 大, 逆に、謹聴に
している時は、 β, P, T 大 とような状態表現が考えられる。一般には、
モデル T.M に対する年齢層の仮定によって異なると思われるので、表 2-1
に、そのことを考慮して、各パラメータの値の変化による状態表現をま
げてみたが、このような形式的な分類は、必ずしも当てはまらない。
このパラメータ変化については、更に 3.1 節 (17) において、具体的に
討論学習過程を通じて、考察する。

2.5 失語症のモデル解析

1.2 節において、思考障害としての失語症が、思考過程の解
析に役立つことを述べたが、ここでは逆に、思考モデル T.M を用いて、
失語症が、どの程度、説明されるかをみてみた。そのやり方は、2.4 節と
同じく、パラメータ変化によるが、その変化を大きくすれば、病的症状に
似た障害が生じると思われる。

まず、運動失語における代表的症状として、自発言語と復唱が
犯され、言語理解では、簡単なものは保たれるが、複雑になると困難で
あるという場合は、言語化関数の閾値 T を大きくする=と説明さ
れる。自発言語、復唱が困難になるとは自明であり、更に、 h 関数
の、 $f_i \geq T$ のとき $f_i = 1$ という機能が失われるために、条件反射的
思考は保たれても、 f_i サイクルの中で、拡散作用が支配的になり、言語
的思考は困難となるため、単純な命令は了解して、正しい反応を起
すが、複雑なものに対しては混乱して何うという結果になると考えられる。
極端な場合は、 $T > 1$ となり、これは純粋言語並に一致する。

運動失語の一部には、意味の骨格である体言、用言は、用いられるが、
助詞、助動詞などの、文の形態部分が失われる失文法(電文体)症
状をきたすものがある。これは、ある概念想起と、それにつく概念想
起との間を結ぶものの欠陥であり、情報量の小さいものを失わせる
 $\alpha < 0$ と対応される。より抽象的な概念は、意味空間において、
薄密度、広範囲と考えられ、 $\alpha < 0$ による影響は大きい。事実、この場
合、条件反射的思考の連続になるとは、才三章で確かめられる。

感覚失語の代表的症状として、言語の了解面の障害がひ

以上、自覚言語は、語健忘、保続、錯語傾向はあつた、比較的保
たれていて、あるいは多弁であるという場合は、聴覚入力から言語として認識
される α が $\beta \ll 1$, 以上、自覚言語に於ける、健忘は、 α を正で大とする
ことによつて、同一言語の保続は、更に、拡散行列に γE を加えて、
 $M + N(\alpha) + \gamma E$ とする γ によつて、錯語的である多弁である。 P 小, T 小に
よつて対応する γ が γ となる。 γE の項は、2/3節では述べたが、
これは、直前の思考内容を短期間記憶する項で、思考の正常時には、
抑制作用があると考へられる。(なお、この抑制作用は、才三章では、不応
期として、簡単に表現した。この作用を考へないと、単位行列に近い、未発達の
拡散行列では、ここで述べた、失語症の保続症状があらわれて(ろう)
この極端な場合は、 $\beta = 0$ となり、純粹語彙と一致する。

健忘失語は、運動失語の失文法とは逆に、名詞(特に物質
名詞)や形容詞が犯され、動詞障害をきたすが、助詞、助動詞が
失われることはない。この場合は、情報量の大小、 α が犯される α で、
 $\alpha > 0$ に対応する。ある概念への、以上、その概念からの連想の極限
は、定性的には保たれるため、概念の意味は把握されるが、特定の
想程に「下」つたので、言葉は、想「出」せぬ。具体的概念は

意味空間において、濃密度、狭範囲と考えられるので、 $\alpha > 0$ によって、
与える影響は大きい。

伝導失語と超皮質性失語は、症状としては、他との区別があまり、はっきりしないが、特徴的事柄としては、前者では、復唱が最も多く、犯されるという点、後者では、皮質性失語と異なり、復唱が比較的良好だということが掲げられる。しかし、TMは、思考過程のモデルとして考えだされたものであるため、復唱のように、知識自体は思考と直接、関係のない行為を行なわせるには、少し無理があるので、その点からの解析はあつかい。ただ、 P 減少による言語理解困難の度合は、感覚失語より、超皮質性感覚失語の方が大きいと言える。何故ならば、復唱では、もともと拡散作用が弱いため、 P の減少によって、集中化作用が弱化したとしても、それによって妨げられることはないという点、及び、 P の減少は、 $\beta \ll 1$ といふ異なり、言語理解は「か」でなく、言語表出(自発言語)に対して、かなり悪影響を及ぼすと考えられるが、このことは、超皮質性感覚失語の方が、自発言語障害が大きいことと一致するということの二点が理由である。

全失語は、(i) $\beta = 0$ から $T > 1$ (ii) $\alpha \gg 0$ (iii) $\alpha \ll 0$ (iv) $P \ll 1$ の

どの場合も、起りえるが、この症状が回復に向う場合は、運動失語か、感覚失語へ移行するという臨床的事実から考えて、(1)が妥当かと思われる。しかし、病巣が、かなり広範囲の言語領域の場合に限られるので、M.A.P.による変化も当然、起るかと思われる。

このように、思考モデルTMのパラメータの変化によつて、失語症の種々の症状を模擬することが出来る。ここでは、失語症の定型的分類に従つて、モデル解析を行ったが、このような方法が失語症の解析に有効性を持たすためには、実際の症例では、いろいろな症状が混在して、何々、独自性があることを考慮して、一つ一つの症例についてのモデル解析から始める必要がある。勿論、その過程での、モデルの複雑化は、ある程度、止むをえないだろう。